

УДК 535.8

## СВЕТОПРОПУСКАНИЕ ОТДЕЛЬНЫХ КОМПОНЕНТОВ ПОТОКА, ВЫХОДЯЩЕГО ИЗ ВОЛОКОННО-ОПТИЧЕСКОГО ЭЛЕМЕНТА

Д. К. Саттаров, Г. Я. Конева,  
И. П. Грязнова и Т. Д. Кульда

Разработана методика измерения светопропускания волоконно-оптическим элементом информационного (полезного) и нерабочих компонентов потока. Приведены результаты измерений.

Одной из основных характеристик волоконно-оптических элементов (ВОЭ) является коэффициент светопропускания  $\tau$ , определяемый по формуле

$$\tau = \frac{\Phi}{\Phi_0}, \quad (1)$$

где  $\Phi_0$  и  $\Phi$  — соответственно падающий на входной торец и вышедший из выходного торца ВОЭ потоки. Применяемые ныне методики [1-3] измерения светопропускания основаны на измерении всего выходящего из выходного торца ВОЭ потока  $\Phi$ , для чего в качестве приемника излучения используются интеграторы света, например фотометрический шар. На рис. 1 дана одна из схем измерения светопропускания  $\tau$ : падающий поток  $\Phi_0$  измеряется по схеме рис. 1, а, а выходящий — по схеме

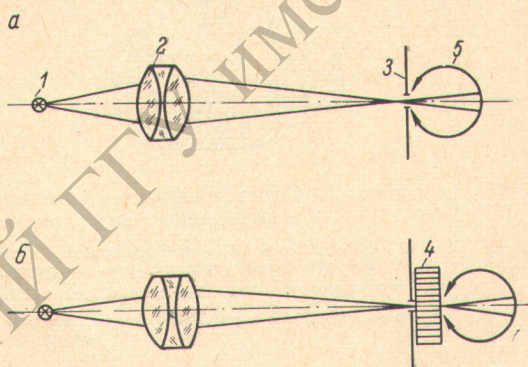


Рис. 1. Схема измерения светопропускания волоконно-оптического элемента.

1 — источник света, 2 — объектив, 3 — диафрагма, 4 — волоконно-оптический элемент, 5 — фотометрический шар; а — измерение падающего потока  $\Phi_0$ , б — измерение прошедшего потока  $\Phi$ .

схеме рис. 1, а, а выходящий — по схеме

На основе эффекта трех колец [2, 4-8] известно, что полезный поток  $\Phi_p$ , несущий информацию, составляет лишь часть выходящего из ВОЭ потока  $\Phi$ . Внеапертурный  $\Phi_b$  и оболочечный  $\Phi_n$  потоки являются нерабочими и ухудшают качество изображения, переданного ВОЭ [2]. Применение вышеуказанной методики определения полного светопропускания ВОЭ приводит к недоразумению: к ВОЭ предъявляются противоречивые требования — наличие высокого светопропускания при высоком коэффициенте передачи контраста. Вместе с тем на основе эффекта трех колец [2, 4-8] можно показать, что в волоконной оптике действует объективная закономерность — при прочих равных условиях увеличение коэффициента передачи контраста ВОЭ возможно за счет снижения полного (общего) светопропускания  $\tau$  при незначительном уменьшении светопропускания  $\tau_n$  полезного потока  $\Phi_p$ .

В силу сказанного исключительный интерес представляют измерения не общего светопропускания  $\tau$ , а светопропускания  $\tau_{ii}$  полезного потока  $\Phi_{ii}$ , его доли в выходящем из ВОЭ потоке  $\Phi$ , а также светопропускания нерабочих компонентов  $\Phi_b^c$ ,  $\Phi_b^{ii}$ ,  $\Phi_b^c$ ,  $\Phi_b^e$  выходящего потока.

С учетом эффекта трех колец [2, 4-8] выражение (1) можно записать в следующем виде:

$$\tau = \frac{\Phi}{\Phi_0} = \frac{\Phi_{ii} + \Phi_b^{ii} + \Phi_b^c + \Phi_b^e + \Phi_b^c}{\Phi_0}. \quad (2)$$

Введем понятие относительного светопропускания отдельных компонентов потока, определив его как отношение выходящего из ВОЭ потока

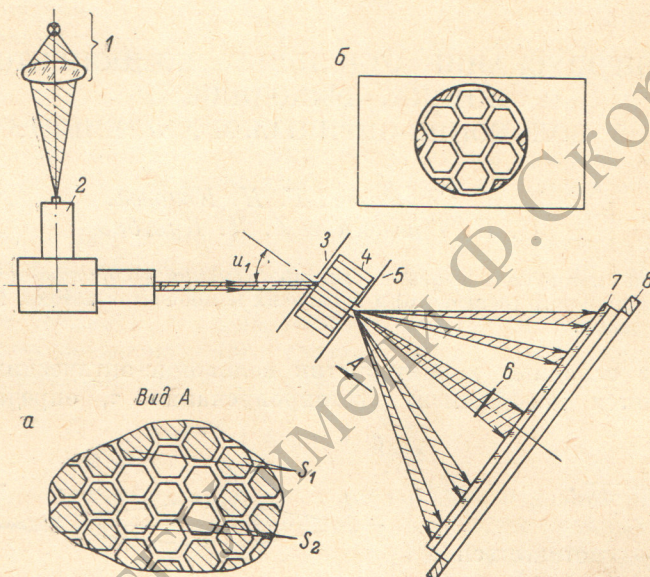


Рис. 2. Схема измерения отдельных компонентов потока, выходящего из волоконного элемента,

1 — осветитель, 2 — монохроматор, 3 и 5 — диафрагмы, 4 — волоконно-оптический элемент, 6 — заслонка, 7 — молочное стекло, 8 — фотоэлемент. Вид А — схема устранения оболочечного потока  $\Phi_{ii}$ : а — выходной торец ВОЭ без диафрагмы 5; б — выходной торец ВОЭ с диафрагмой.

данного компонента к общему потоку  $\Phi_0$ , падающему на входной торец ВОЭ. В этом случае выражение (2) примет вид

$$\tau = \tau_{ii} + \tau_b^{ii} + \tau_b^c + \tau_b^e + \tau_b^c, \quad (3)$$

т. е. относительное светопропускание данного компонента определяет его вклад в выходящем из ВОЭ потоке  $\Phi$ .

Измерения светопропускания отдельных компонентов потока, выходящего из ВОЭ, производились на установке, оптическая схема которой дана на рис. 2. ВОЭ устанавливается на поворотном столе, ось которого совмещена с входным торцом ВОЭ. Последний освещается через диафрагму 3 монохроматическим светом. При измерениях в широких конических пучках лучи отдельных компонентов перекрываются [2] и разделить основные компоненты потока не удается. Поэтому измерение светопропускания отдельных компонентов потока проводится при падении на входной торец ВОЭ узкого конического пучка лучей ( $u=2^\circ$ ), в этом случае выходящий из ВОЭ поток разделен в пространстве на полезный и нерабочие компоненты [2, 8]. Светораспределение на выходе каждого из компонентов потока представляет собой кольцевой элемент конуса, а в сечении нормальной плоскостью получаются светящиеся кольца, разнесенные в пространстве соответственно для полезного и нерабочих компонентов [8]. Приемником излучения служит фотоэлемент (рис. 2),

Результаты измерений светопропускания волоконно-оптическими элементами отдельных компонентов потока

$u_1$ , град.	$L$ , мм	Без диафрагмы на выходе					С диафрагмой на выходе					Светопропускание отдельных компонентов			
		$\tau$	$\tau_{II} + \tau_{II}^H$	$\tau_B^H + \tau_B^C + \tau_{II}^C + \tau_{II}^H$	$\tau_B^H + \tau_B^C + \tau_{II}^H$	$\tau_B^C + \tau_{II}^H$	$\tau_{II}^C + \tau_{II}^H$	$\tau_{II}$	$\tau$	$\tau_{II}$	$\tau_{II}^C$	$\tau_{II}^H$	$\tau_B^C + \tau_{II}^H$	$\tau_B^H$	
0	4	0.91	0.70				0.85	0.65	0.91	0.65	0.21	0.05			
	50	0.85	0.62				0.81	0.57	0.85	0.57	0.23	0.05			
	100	0.78	0.55				0.71	0.48	0.78	0.48	0.23	0.07			
20	4	0.82	0.55				0.75	0.48	0.82	0.48	0.27	0.07			
	50	0.78	0.52				0.73	0.46	0.78	0.46	0.26	0.06			
	100	0.68	0.44				0.56	0.34	0.68	0.34	0.25	0.10			
32	4	0.74	0.48				0.66	0.40	0.74	0.40	0.26	0.08			
	50	0.68	0.43				0.60	0.36	0.68	0.36	0.25	0.08			
	100	0.57	0.38				0.43	0.25	0.57	0.25	0.20	0.13			
40	4		0.64	0.47	0.32		0.64				0.16		0.32	0.15	
	50		0.58	0.38	0.26		0.58				0.20		0.26	0.12	
	100		0.42	0.29	0.19		0.42				0.13		0.19	0.12	
58	4		0.44	0.28		0.44							0.28	0.16	
	50		0.37	0.14		0.37							0.14	0.23	
	100		0.24	0.09		0.24							0.09	0.15	

РЕПОЗИТОРИЙ УЧЕНЫХ

Определяется  
совместно  
с  $\Phi_B^C$   
Испытывает  
ПВО

перед окошком которого поставлено молочное стекло для усреднения потока по светочувствительной площадке фотоэлемента.

Исследования проводились на спеченных образцах ВОЭ диаметром 28 мм с параллельной укладкой волокон, с длиной световедущей жилы 4, 50 и 100 мм и коэффициентом заполнения 0.7. Номинальная числовая апертура световодов  $\sin u_0 = 0.54$ . Измерения проводились для пяти значений углов  $u_1$  падения света на входной торец ВОЭ: 0, 20°;  $u_0 = 32^\circ 15'$ , 40° и 90°— $u_0 = 58^\circ$ . Физический смысл выбранных пяти углов  $u_1$  падения лучей на входной торец ВОЭ дан в работе [8].

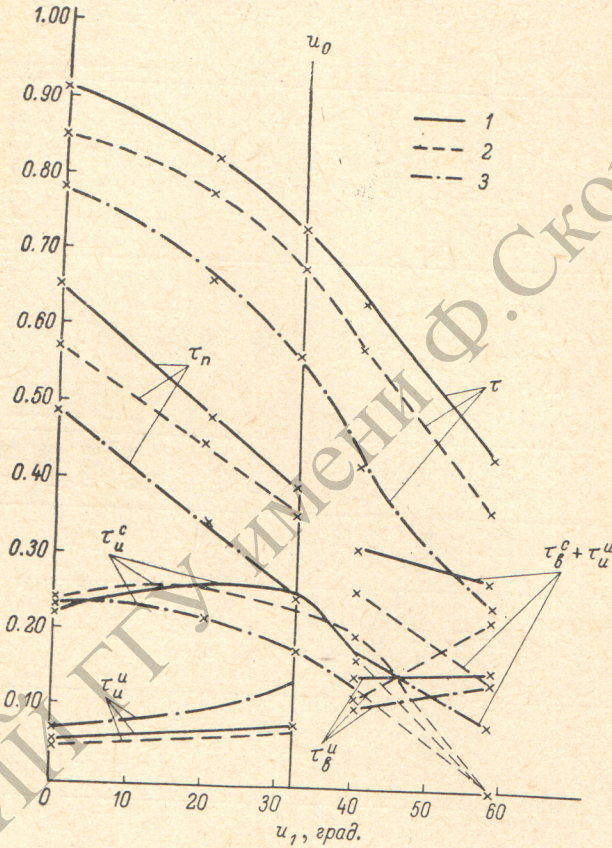


Рис. 3. Зависимость полного светопропускания и светопропускания отдельных компонентов излучения от угла  $u_1$  падения света на входной торец волоконно-оптического элемента.

1 — ВОЭ длиной 4 мм, 2 — ВОЭ длиной 50 мм, 3 — ВОЭ длиной 100 мм.

Методика основана на измерении всего выходящего из ВОЭ потока, а также потоков каждого светящегося кольца ( $\Phi_n + \Phi_u$ ,  $\Phi_n^c$ ,  $\Phi_n^u$ ;  $\Phi_v^c + \Phi_v^u$ ), выделение которых производится с помощью ввода диафрагмы. Поток, падающий на входной торец ВОЭ, измеряется при подведении фотоэлемента к диафрагме 3 (рис. 2). Таким образом, измеряются полное светопропускание  $\tau$ , светопропускание компонентов  $\Phi_n^c$  и  $\Phi_v^c$  и суммарное светопропускание компонентов  $\Phi_n + \Phi_u$  и  $\Phi_v^c + \Phi_v^u$ . Результаты измерений приведены в таблице.

Оболочечный поток  $\Phi_u^u$  распространяется через ВОЭ за счет многосторонних преломлений и френелевских отражений на границах жила—оболочки и оболочки—жила [2] и на выходе распределяется на некоторую площадь  $S_1$ , значительно превосходящую площадь  $S_2$  световедущих жил, по которым распространяется полезный поток  $\Phi_n$  (незаштрихованные жилы на рис. 2). Это позволяет практически полностью исключить поток

$\Phi_{\text{и}}$  установкой на выходном торце ВОЭ диафрагмы 5, сцентрированной с диафрагмой 3 и равной ей по площади, т. е. разделить компоненты  $\Phi_{\text{и}}$  и  $\Phi_{\text{и}}^{\text{c}}$ . Измерения проводятся для трех углов  $u_1$  падения лучей на ВОЭ:  $0^\circ$ ,  $20^\circ$  и  $u_0=32^\circ 15'$ . Данная методика позволяет измерить полное светопропускание, светопропускание полезного потока и светопропускание нерабочих компонентов потока (см. таблицу). Неразделенными при этом остаются два нерабочих компонента  $\Phi_{\text{в}}^{\text{c}}+\Phi_{\text{и}}^{\text{c}}$ , светопропускание которых определяется в сумме. На рис. 3 приведены зависимости полного светопропускания  $\tau$  и светопропускания отдельных компонентов от угла  $u_1$  падения света на входной торец ВОЭ.

Как видно из рис. 3, приведенное светопропускание полезного потока, равное отношению  $\tau_{\text{и}}/\tau$  для исследованных ВОЭ, уменьшается с длиной и составляет 0.71, 0.67; 0.61 для  $u_1=0^\circ$  и 0.54, 0.52, 0.44 для  $u_1=32^\circ$  для образцов с длиной по оси жилы 4, 50 и 100 мм соответственно. Уменьшение с длиной приведенного светопропускания полезного потока связано с рассеянием света внутри ВОЭ, происходящем на микродефектах в материалах жилы и оболочки, на границах жила—оболочка и оболочка—жила—оболочка, дающего практически равномерную засветку пространства между кольцами. С увеличением длины ВОЭ величина рассеянного потока увеличивается за счет уменьшения величин потоков основных компонентов излучения.

Светопропускание потоков, выходящих из жил ( $\tau_{\text{и}}, \tau_{\text{в}}^{\text{c}} + \tau_{\text{и}}^{\text{c}}, \tau_{\text{и}}^{\text{e}}$ ), уменьшается с увеличением углов падения лучей на ВОЭ, а светопропускание потоков, выходящих из светоизолирующих оболочек ( $\tau_{\text{и}}^{\text{v}}, \tau_{\text{в}}^{\text{v}}$ ), имеет тенденцию к росту с увеличением угла  $u_1$ .

Некоторое увеличение светопропускания потоков, выходящих из светоизолирующих оболочек ( $\tau_{\text{и}}^{\text{v}}, \tau_{\text{в}}^{\text{v}}$ ), связано с методикой выделения этих потоков, а именно при измерении светопропускания потока  $\tau_{\text{и}}^{\text{v}}$  выделением его с помощью сцентрированных диафрагм часть потока  $\Phi_{\text{и}}^{\text{v}}$  попадает в приемник. При малых углах  $u_1$  эта часть больше, чем при больших, когда  $\Phi_{\text{и}}^{\text{v}}$  распространяется на большую площадь ВОЭ. В измеренном светопропускании  $\tau_{\text{и}}^{\text{v}}$  присутствует часть рассеянного в ВОЭ потока, величина которого растет с увеличением  $u_1$ .

Светопропускание  $\tau_{\text{и}}^{\text{c}}$  при  $58^\circ$  равно нулю, так как поток  $\Phi_{\text{и}}^{\text{c}}$  при этом угле претерпевает полное отражение от границы жила—воздух на выходном торце ВОЭ [8]. Штриховые линии  $\tau_{\text{и}}^{\text{c}}$  — экстраполяция кривых от  $40^\circ$  до  $58^\circ$  (рис. 3).

Из полученных экспериментальных результатов следует, что увеличение  $\tau_{\text{и}}$  полезного потока в выходящем из ВОЭ потоке, а значит, и улучшение качества изображения [9] может быть достигнуто несколькими методами, в том числе:

а) увеличением числовой апертуры световодов до единицы и выше, так как при этом отсутствуют внеапертурные компоненты  $\Phi_{\text{в}}^{\text{c}}, \Phi_{\text{и}}^{\text{c}}$  и поток  $\Phi_{\text{и}}^{\text{c}}$ , остаются только компоненты  $\Phi_{\text{и}}$  и  $\Phi_{\text{и}}^{\text{c}}$ ;

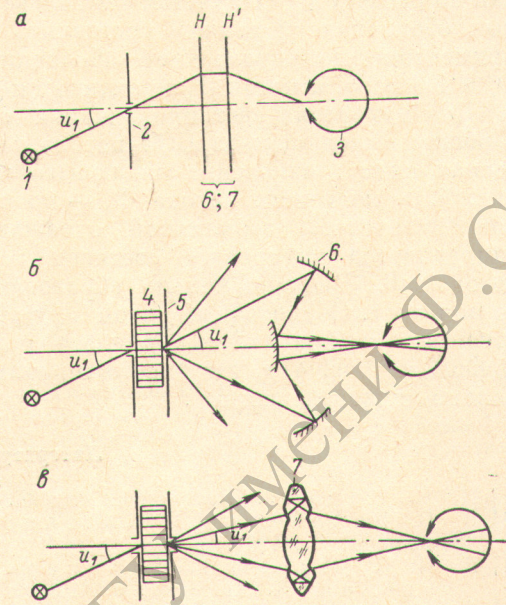


Рис. 4. Схемы измерения светопропускания полезного потока волоконно-оптического элемента.

1 — источник света, 2 и 5 — диафрагмы, 3 — фотометрический шар, 4 — волоконно-оптический элемент, 6 — концентрическая зеркальная отражающая система, 7 — концентрическая зеркально-линзовая система, а — измерение падающего потока  $\Phi_{\text{и}}$ , б, в — измерение полезного потока  $\Phi_{\text{и}}$ .

б) применением полупрозрачных светоизолирующих оболочек, так как это ослабляет поток  $\Phi_n^u$ ;

в) использованием световодов с минимально допустимой (оптимальной) толщиной светоизолирующих оболочек.

Для экспериментальной проверки этих выводов по описанной методике измерены  $\tau$  и  $\tau_n$  спеченной волоконной детали с параллельной укладкой волокон, с номинальной числовой апертурой  $A_0 > 1$ , с коэффициентом заполнения 0.70 и полупрозрачными светоизолирующими оболочками. Получены следующие результаты:  $\tau = 0.66$ ,  $\tau_n = 0.61$ ,  $\tau_n^u = 0.05$ ; в то время как по расчету [2, 6] с учетом френелевских потерь от торцов при прозрачных оболочках  $\tau_n^u$  должен составлять 0.08, а  $\tau_n = 0.58$ . Таким образом, применение полупрозрачной оболочки уменьшило оболочечный поток  $\Phi_n^u$  в 1.6 раза, а поток  $\Phi_n$  практически не изменился.

Для измерения светопропускания  $\tau_n$  полезного потока  $\Phi_n$  и его доли в общем выходящем из ВОЭ потоке также применима следующая оптическая схема: измерение падающего потока  $\Phi$  производится по схеме рис. 4, a, полезного потока  $\Phi_n$  — по схеме рис. 4, б, здесь с помощью концентрической зеркальной отражающей системы на фотоприемник направляется внутреннее светящееся кольцо, образованное полезным потоком  $\Phi_n$ . Внешнее кольцо, образованное потоком  $\Phi_n^u$ , на фотоприемник не попадает. Оболочечный поток  $\Phi_n^u$  устраняется с помощью двух симметрированных диафрагм 2 и 5 равного диаметра. Аналогичная схема изображена на рис. 4, в, где вместо зеркальной отражающей применена зеркально-линзовая система.

### Литература

- [1] Н. С. Капани. Волоконная оптика. Изд. «Мир», М., 1969.
- [2] В. Б. Вейнберг, Д. К. Саттаров. Оптика световодов. Изд. «Машиностроение», Л., 1969.
- [3] Д. К. Саттаров, Г. Я. Конева, Л. С. Трофимова, К. П. Печерская, А. Н. Корнилицина. Опт. и спектр., 27, 151, 1969.
- [4] Д. К. Саттаров. Опт.-мех. промышл., № 5, 9, 1968.
- [5] Д. К. Саттаров. Опт.-мех. промышл., № 6, 18, 1968.
- [6] Д. К. Саттаров. Опт.-мех. промышл., № 8, 5, 1968.
- [7] Д. К. Саттаров. Опт.-мех. промышл., № 9, 3, 1968.
- [8] Д. К. Саттаров, Г. Я. Конева, И. П. Грязнова, Т. Д. Кульда. Опт. и спектр., 28, 561, 1970.
- [9] Г. Я. Конева, Д. К. Саттаров, Л. С. Трофимова. Опт. и спектр., 25, 922, 1968.

Поступило в Редакцию 12 октября 1970 г.